

UDC 669.18-932 : 681.3

## 論文

## 金材技研式連続製鋼法のシミュレーション\*

福沢 章\*\*・中川龍一\*\*\*・吉松史朗\*\*\*・上田卓弥\*\*\*

## Simulation of the NRIM Continuous Steelmaking Process

Akira FUKUZAWA, Ryuichi NAKAGAWA, Shiro YOSHIMATSU, and Takuya UEDA

## Synopsis

A mathematical model of the NRIM continuous steelmaking process has been developed on the basis of the assumption that the rate limiting step in the steelmaking reaction is mass transfer which is the function of flow rates of jetted oxygen and generated CO gas. Resistance constants in mass transfer equations and other system parameters used in the model are determined by the complex optimization method to get a good agreement with the actual data in steady state. Results applied for the start-up simulations for the NRIM process operations show that the model can represent the actual process with accuracy. This means that the parameter constants in steady state are available for the unsteady state simulation, so that the model can be used for an optimal designing of the continuous steelmaking process and for the development of the process control strategy. Moreover, the assumption that the gas flow rates have an important role for bath mixing can provide a valuable aid to understand the steelmaking reaction kinetics.

## 1. 緒 言

金材技研式連続製鋼法は、製鉄体系の連続化の一環をなすものとして研究が進められてきたが、酸素製鋼法を連続的に行なわせるだけとも見られる本方法も、新しいプロセス開発において生ずる幾多の問題からは不可避であり、その装置と操業法の確立には種々の試みがなされてきた<sup>1)</sup>。しかし実験規模が小さく、また実験を頻繁には行なえないなどの事情から、装置あるいは操業法の選択にあたっては種々の制限を受けざるを得なかつた。この制限を克服しつつ連続製鋼技術の可能性を知る目的で金材技研式連続製鋼法に関する数学的モデルの開発を実験に併行して進めてきた。

モデリングの対象である金材技研式連続製鋼炉は、脱Si、脱Pを主とする第1段炉と脱Cを主とする第2段炉で構成されており、その桶型の浴槽に酸素吹精ランスが各段4、5本直列に取り付けられている複雑な反応器であるため、モデルの作成には単純化に努め、対象とする成分変化が分析範囲にあり、また排滓がより定常的に行なわれる第1段炉を主体にモデリングに必要な各種定数の探索を行なつた。ここではモデル作成の過程と、操業開始時についてシミュレートした結果について報告する。

## 2. モデルの構成

製鋼反応過程の律速段階は、高温での反応のため、事实上瞬間に進行する化学反応ではなく、拡散、吸着などの物理的要因にあると考えられている<sup>2)~5)</sup>。本モデルでは製鋼反応を物質移動律速とみなし、下記の仮定に基づいて作成された。

1) 酸素吹精ランス1本で1つの完全混合槽を形成し、槽内の溶鋼、スラグの各成分濃度はそれぞれ均一であり、熱的には溶鋼、スラグおよび排ガスは同一温度であるとする。

2) 連続製鋼炉各段の混合特性は、その段に取付けられたランス本数に等しい数の完全混合槽を直列に並べたもので代表できるとする。

3) 吹精酸素は一部はFeOとしてスラグ相に含まれ、残部は溶鋼中に吸収されるものとする。

4) 製鋼反応は物質移動律速で進行するものとする。すなわち、反応速度は反応成分の溶鋼内部での濃度と、スラグ相あるいは気相に平衡する濃度との差に比例し、移動抵抗に反比例する。

5) 移動抵抗は、COガス生成反応では排ガス生成速度に、溶鋼・スラグ間の反応では排ガス生成速度と送酸速度の和に反比例するものとする。

\* 昭和48年10月本会講演大会にて発表 昭和51年3月29日受付 (Received March 29, 1976)

\*\* 金属材料技術研究所 (National Research Institute for Metals, 2-3-12 Nakameguro Meguro-ku 153)

\*\*\* 金属材料技術研究所 工博 (National Research Institute for Metals)

6) CO生成反応におけるガス・溶湯界面のC, O濃度は  $P_{CO}=1 \text{ atm}$  と平衡を保ちつつ推移する。

7) 溶湯・スラグ間の反応は、(FeO)の還元は(FeO)に平衡する酸素濃度  $O_{eq}$  と溶湯中の酸素濃度  $O$  の差に応じて進み、Si, Mn, Pの酸化は、各元素のスラグ相に平衡する濃度との差に応じて行なわれるものとし、この場合(FeO)の還元を伴うものとする。濃度差が負になつた場合は、上記の逆反応が物質移動律速にもとづいて進行するものとする。

## 2.1 界面反応

以上の仮定に基づく物質の移動系統図を、ランス1本についてFig. 1に示す。これまで種々の仮定に基づくLD転炉のダイナミックモデルが提案されてきたが<sup>6)~8)</sup>、各段ごとに数本のランスを有する金材技研式連続製鋼法に適用するには複雑すぎるため、単純でかつ酸素製鋼の特徴をシミュレートできるものをということでこのモデルを作成した。仮定(5)は、製鋼法の種類に関係なく酸素供給速度と脱炭速度が広範囲にわたり比例関係があり、化学量論的関係を満たしていることから<sup>9)10)</sup>、脱炭反応が物質移動律速であり、その物質移動は吹込みあるいは生成するガス流による鋼浴の攪拌に左右されるという仮定に基づいたものである。仮定(5)で脱炭反応は排ガス(CO)流量のみの関数としたのは、鋼浴の攪拌がCOガスに限られている鉄鉱石を酸化剤とした平炉製鋼法においても、上述の酸素供給速度と脱炭速度の関係をほぼ満たしていることによる。同じく仮定(5)で溶湯・スラグ間の反応については吹精酸素量も攪拌に影響を及ぼすとしてあるが、これはLD転炉操業の初期の脱炭反応が弱い時期の溶湯・スラグ間の反応の進行を説明するためである。鋼浴の攪拌に対して吹精酸素ジェットと生成CO

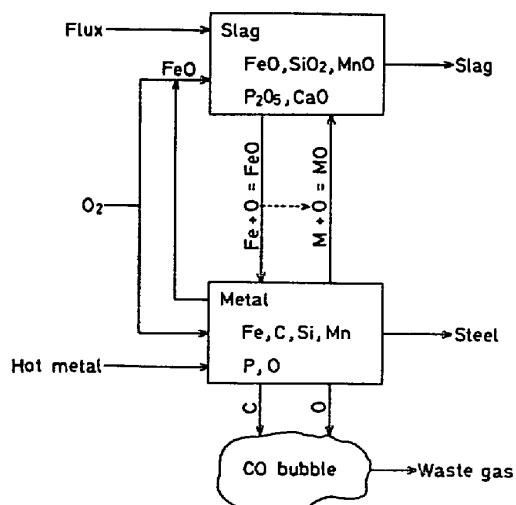


Fig. 1. Material flow in the model.

ガスの沸騰上昇のいずれが効果的かは、酸素吹精条件、脱炭反応の位置などにより変わるとと思われるが、ここでは移動抵抗  $R$  はガスの質量流量  $V$  に逆比例するとした。式で表わすと、

$$\text{CO生成反応} \quad R_{CO} = \alpha_{CO}/V_{CO} \quad (1)$$

$$\text{溶湯・スラグ反応} \quad R_j = \alpha_j/(V_{CO} + V_{O_2}) \quad (2)$$

ここで  $\alpha$  は各反応に固有の比例定数( $j = O, M$ )。

仮定(6)に述べたCO気泡と平衡するC, O濃度  $C^*$ ,  $O^*$  は、溶湯から界面への両元素の移動量が  $C + O = CO$  反応を化学量論的に満たし、両元素に対する移動抵抗は等しいと仮定することにより、二元連立方程式((3), (4)式)の解として(5)式で与えられる。

$$\text{平衡関係} \quad K_{CO} = P_{CO}/(C^* \cdot O^*) \quad (3)$$

$$\text{移動量} \quad O - O^* = (C - C^*) \cdot 16/12 \quad (4)$$

$$\begin{aligned} O^* &= \{O - 4C/3 + [(O - 4C/3)^2 \\ &\quad + 16/(3 \cdot K_{CO})]^{1/2}\}/2 \end{aligned} \quad (5)$$

$$(K_{CO} = 4.55 \times 10^{6.11}, 1500^\circ\text{C})$$

仮定(7)におけるO, Si, Mn, Pのスラグとの平衡濃度  $O_{eq}^{(11)}$ ,  $Si_{eq}^{(11)}$ ,  $Mn_{eq}^{(11)}$ ,  $P_{eq}^{(12)}$ の値は以下の平衡関係式を用いた。

$$\begin{aligned} \log K_O &= \log ([\% O_{eq}] / (\gamma_{FeO} \cdot N_{FeO})) \\ &= -6150/T + 2.604 \end{aligned} \quad (6)$$

$$\begin{aligned} \log K_{Si} &= \log ([\% Si_{eq}] [\% O_{eq}]^2 / (\gamma_{SiO_2} \cdot N_{SiO_2})) \\ &= -30720/T + 11.76 \end{aligned} \quad (7)$$

$$\begin{aligned} \log K_{Mn} &= \log (\gamma_{MnO} \cdot N_{MnO} / (\gamma_{FeO} \cdot N_{FeO} \cdot [\% Mn_{eq}]))) \\ &= 6440/T - 2.95 \end{aligned} \quad (8)$$

$$\begin{aligned} \log K_P &= \log (N_{PO_4}^3 / ([\% P_{eq}] \cdot (N_{Fe}^{2+})^{5/2} \cdot (N_O^{2-})^{1/4})) \\ &= 7N_{Ca}^{2+} + 14660/T - 7.44 \end{aligned} \quad (9)$$

(7)式は飽和  $SiO_2$  に関する平衡式を製鋼スラグに拡張使用したものである。(6), (7), (8)式に使われている酸化物の活量係数は  $CaO-FeO-SiO_2$  系の状態図で  $N_{CaO}/N_{SiO_2} = 2.5$  の線上の  $N_{FeO} = 0.05 \sim 0.30$  の範囲を 0.05 ごとに読みとつた各酸化物の活量係数の平均値 ( $\gamma_{FeO} = 2.41^{(13)}$ ,  $\gamma_{SiO_2} = 0.01^{(14)}$ ,  $\gamma_{MnO} = 2.80^{(13)}$ ) である。

## 2.2 物質収支

仮定(1)に基づいて連続製鋼炉の  $i$  番目のランスで構成される完全混合槽  $i$  に流入する溶湯中の元素  $j$  の蓄積速度は次式で与えられる。

$$dW_i \cdot C_{jout}/dt = Q_{in} \cdot C_{jin} - Q_{out} \cdot C_{jout} - \Delta C_j/R_j \quad (10)$$

ただし、スラグ・メタル反応:  $\Delta C_j = C_{jout} - C_{jeq}$ , メタル・ガス反応:  $\Delta C_j = c = (C - C^*) \cdot 28/12$ ,  $R_j = R_{CO}$

同様にスラグ相における  $j$  の酸化物  $k$  の蓄積速度は次式で与えられる。

$$dw_{ikout}/dt = q_{in}c_{kin} - q_{out}c_{kout}$$



ある。長さ 3 m, 幅 30 cm, 静止鋼浴深さ 15 cm の連続製鋼炉内<sup>1)</sup>に、溶湯流入側から炉の中央部にかけて 4 本のランスを配列した反応器の混合状態は非常に複雑であるが<sup>18)</sup>、仮定(1), (2)に基づいて Fig. 2 に示すように溶湯とスラグについて、それぞれ直列に並べられた 4 つの完全混合槽で 1 つの製鋼炉を構成するものとした。各ランス(槽)が分担する溶湯とスラグの重量(滞留量)は、ランスが製鋼炉の流入側に等間隔に配列されていることから、流入側の 3 槽は同一滞留量を有し、第 4 槽の滞留量は全滞留量から先の 3 槽分を引いたものとして求めた混合特性の計算結果と、トレーサーとして溶湯には Cu 粉、スラグにはフェロチタンの小粒を用いたパルス応答の実測値を対応させて決定した。

### 3.2.1 鋼浴の混合特性

鋼浴の混合特性に関するブロック線図は Fig. 3 a) で示される。第 *i* 槽の伝達関数  $G_i$  は次式で表わされる。

$$G_i = C_i(s)/C_{i-1}(s) = 1/(s \cdot W_i/Q + 1) \quad \dots(20)$$

製鋼炉全体の混合に関する伝達関数  $G$  は  $G_i$  の積として次式で表わされる。

$$G = C_4(s)/C_0(s) = G_1 \cdot G_2 \cdot G_3 \cdot G_4 \quad \dots(21)$$

ここで流入側 3 槽の滞留量は等しいとした仮定条件から  $W_1 = W_2 = W_3$  であることを考慮して(20)式を(21)式に

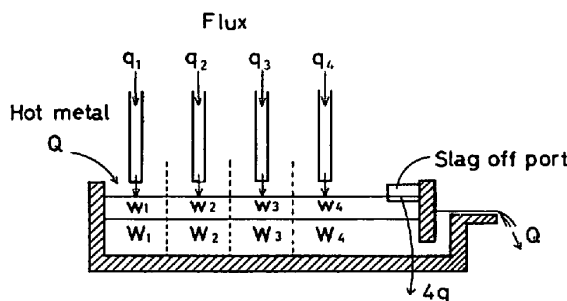
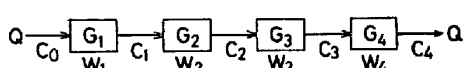


Fig. 2. Schematic representation of the application of back-mix model to the continuous steel-making furnace.

#### a. Metal



#### b. Slag

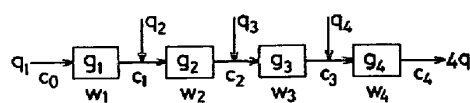


Fig. 3. Bath mixing block diagrams for metal and slag.

代入して整理すると次式となる。

$$G = 1/[(sW_1/Q + 1)^3(sW_4/Q + 1)] \quad \dots(22)$$

これが連続製鋼炉鋼浴の伝達関数である。この系にトレーサーをインパルス  $C_0(s) = C^0 W/Q$  で入れた場合の出口側の応答は

$$C_4(s) = (C^0 W/Q)/[(sW_1/Q + 1)^3(sW_4/Q + 1)] \quad \dots(23)$$

ただし、 $W = W_1 + W_2 + W_3 + W_4$

これをラプラス逆変換することにより、求める滞留時間分布は次のようにになる。

$$C_4 = [(A_1 + A_2 t + A_3 t^2) e^{at} - A_4 e^{bt}] Q^3 W C^0 / (W^3 W_4) \quad \dots(24)$$

ただし、 $A_1 = 1/(a-b)^3$ ,  $A_2 = -1/(a-b)^2$ ,

$$A_3 = 0.5/(a-b)$$
,  $a = -Q/W_1$ ,  $b = -Q/W_4$

この式に操業条件  $W = 1000 \text{ kg}$ ,  $Q = 130 \text{ kg/min}$  を代入し、 $W_1$  を変えた場合の滞留時間分布の変化を Fig. 4 に示す。図中に実炉における滞留時間分布の実測結果を合わせてプロットしたが、第 1 段炉にトレーサーを投入した第 59, 60 回実験のプロットと計算結果を比較して  $W_1 = 200 \text{ kg}$ ,  $W_4 = 400 \text{ kg}$  の値を第 1 段炉の各ランスが分担する溶湯滞留量とした。第 57, 58 回実験における第 2 段炉の滞留時間分布の実測結果を同図にプロットしたが、ピークが第 1 段炉より早いのは、第 2 段炉が脱炭を主としているため炉内の CO ボイルによる激しい攪拌が行われていることの例証であり、完全混合槽により近いといえる。

### 3.2.2 スラグの混合特性

スラグの滞留時間分布に関するブロック線図を Fig. 3 b) に示す。溶湯の場合と異なり、各ランスから造漬剤が均等に酸素と同時に供給されるため、各槽へ入る造漬剤流量  $q$  は供給造漬剤流量と溶湯中の Si, Mn, P および Fe の酸化物生成速度の和をランス本数で等分したものとした。鋼浴と同様 *i* 槽のスラグ相の伝達関数  $g_i$  は次式で与えられる。

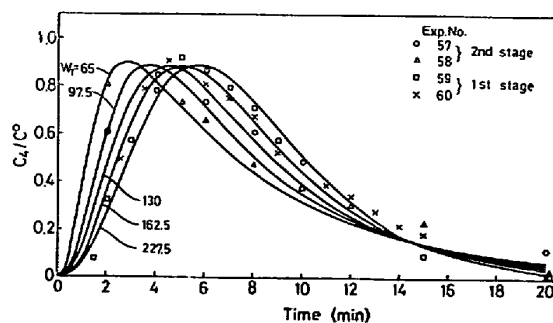


Fig. 4. Impulse response in the metal bath based on back-mix reactors in series.



Table 1. Chemical composition of fluxes and iron ore.

Materials	CaO	SiO <sub>2</sub>	MgO	T.Fe	FeO	CaF <sub>2</sub>	Al <sub>2</sub> O <sub>3</sub>	CaCO <sub>3</sub>	P	S
Lime	81.05	7.35						11.56	0.015	0.024
Fluorspar		4.72				91.99				
Silica		99.9								
Iron ore	0.06	3.31	0.04	66.99	0.30		1.67		0.037	0.014

には  $1/(kg \cdot min)$  が掛かっているものとする。

溶湯の堰による滞留量は、溶銑流入量  $130 kg/min$  の定常状態で 3.2.1 で定めた滞留量を満足する値として  $w_{h1 \sim 3} = 70 kg$ ,  $w_{h4} = 390 kg$  とした。スラグについては各ランスから造滓剤が供給されていることを考慮して造滓剤投入量  $9 kg/min$  の場合(第58回実験),  $w_{h1} = 7 kg$ ,  $w_{h2} = 3 kg$ ,  $w_{h3} = 1 kg$ ,  $w_{h4} = 35 kg$  を用い,  $12 kg/min$  の場合(第61回実験), それぞれ  $10 kg$ ,  $6 kg$ ,  $4 kg$ ,  $47 kg$  とした。

### 3.3 熱損失

実操業に関する熱精算の結果、ランス冷却水が持ち去る熱量が熱損の大部分を占めていることが判明したためモデルでは熱損を各槽から均等に分担するとして、熱損式を以下のとく定義した。製鋼炉1段の熱損  $Hl$  は各槽の熱損  $Hl_i$  の和であるから、

$$Hl = Hl_1 + Hl_2 + Hl_3 + Hl_4 = 4 \cdot Hl_i \quad \dots \dots \dots (33)$$

各槽における反応熱  $Hr_i$  は、各ランスの酸素吹精量は等しいと考えられることから、

$$Hr = Hr_1 + Hr_2 + Hr_3 + Hr_4 = 4 \cdot Hr_i \quad \dots \dots \dots (34)$$

(33), (34)式を(19)式に代入すると、

$$Hl_i = HL(H_{in}/4 + Hr_i) \quad \dots \dots \dots (35)$$

流入熱量  $H_{in}$  は吹精酸素、造滓剤などの各槽ごとに外部から流入する物質の熱量  $h_{ini}$  と、製鋼炉への流入溶湯の熱量  $h_{HM}$  の和であるので熱損は最終的に次式となる。

$$Hl_i = HL(h_{HM}/4 + h_{ini} + Hr_i) \quad \dots \dots \dots (36)$$

### 3.4 造滓剤

吹精ランスから酸素と同時に供給される粉体の造滓剤に含まれている  $CaCO_3$  と、第1段炉の第3ランスの前に  $1 kg/min$  の割合で投入される鉄鉱石( $Fe_2O_3$ )の分解と生成ガスによる炉内の攪拌に対する寄与を以下のように仮定した。 $CaCO_3$  は最終的に  $CaCO_3 = CaO + CO + O_2/2$  に分解するとし、発生した  $CO$  は(1), (2)式の  $V_{CO}$  の一部として攪拌に寄与するが、遊離した酸素は攪拌には直接関係せず、供給酸素  $O_{2in}$  の一部をなすものとした。 $Fe_2O_3$  の分解  $Fe_2O_3 = 2FeO + O_2/2$  で生じた酸素も同様に  $O_{2in}$  の一部として加えた。

反応熱の式(18)の最終項  $h_D$  は上記の反応の分解熱と

複塩生成熱の和である。投入鉄鉱石はすべて第3槽に入るとして計算した。造滓剤(粉体)と鉄鉱石(<5 mm)は炉内へ投入後ただちに滓化するとした。

### 3.5 計算結果

3.2~3.4 で述べたモデルの修正を行い、第58回と第59回連続製鋼実験の第1段炉の定常状態の操業結果を

Table 2. Operating conditions and results.

Operation number	58		59		60	
Stage of furnace	1		2		1	
Hot metal flow rate (kg/min)	130		130		130	
Oxygen blow rate (Nm <sup>3</sup> /min)	2.2		4.4		2.4	
Flux	Feed rate(kg/min) CaO:CaF <sub>2</sub> :SiO <sub>2</sub>	9 5:1:0	4 4:1:1	10 5:1:0	12 5:1:0	
Iron ore feed rate (kg/min)		1	0	1	1	
Lance	Total number Lance for oxygen only	4 0	5 3	4 0	4 0	
	Height (mm) Angle (°)	150 5	160 5	150 5	150 5	
Temp.	Pig iron (°C) Hot metal (°C)	1450 1530		1380 1460	1400 1490	
	Chemical composition of pig iron (%)	C Si Mn P	3.80 0.57 0.55 0.13		3.91 0.40 0.53 0.12	3.96 0.54 0.55 0.10
	Chemical composition of hot metal (%)	C Si Mn P	2.82 <0.01 0.29 0.028	0.04 <0.01 0.12 0.010	2.89 <0.01 0.20 0.018	3.10 <0.01 0.26 0.027
	Chemical composition of slag (%)	CaO SiO <sub>2</sub> P <sub>2</sub> O <sub>5</sub> FeO Fe <sub>2</sub> O <sub>3</sub> MnO MgO CaF <sub>2</sub>	51.3 23.6 2.7 3.3 1.9 3.9 3.6 11.3	25.4 17.3 0.8 26.9 12.4 5.2 13.7 6.7	50.4 20.3 2.7 9.9 4.5 4.2 2.0 7.8	61.3 14.1 1.9 5.3 6.0 5.5 2.2 11.5
	Oxygen efficiency (%)	83.7	86.0	80.5	83.0	
	Heat loss (%)	7.8	7.3	9.3	10.6	

Table 3. Constants and out put data calculated by complex method.

Operation number-stage		58-1	59-1	Data for simulation
System constants	$\alpha_{CO}$	0.00019	0.00020	0.00018
	$d_O$	0.0010	0.0010	0.0010
	$\alpha_{Si}$	0.0071	0.0063	0.0070
	$\alpha_{Mn}$	0.0240	0.0218	0.0240
	$\alpha_P$	0.0116	0.0080	0.0120
	OE	0.856	0.808	0.800
	X	0.38	0.34	0.40
Out put data	Temp.(°C)	1506	1431	
	C(%)	2.59	2.73	
	Si(%)	0.008	0.006	
	Mn(%)	0.266	0.159	
	P(%)	0.032	0.021	
	FeO(%)	5.6	13.5	

もとに、3.1に述べた未定の各種定数の探索を以下のように行なつた。数値計算に用いた操業上既知の定数として、造滓剤の分析値をTable 1に、操業条件とその結果をTable 2に示す。

最適値探索の副プログラムである連続製鋼法モデルの計算は、0.025 min 間隔でオイラー法で行ない、コンプレックス法の主プログラムから送られてくる1組の未定定数に関し、20 minの繰返し計算の結果を目的関数に送り返し判定を行うことを1回として、120回繰返し探索して得られた定数值をTable 3に示す。Table 2の実験値と比較して、温度とC濃度がかなりよい近似を示しているのに対し、MnとP濃度は実験値と10~20%の差があるが、これはスラグ温度を鋼浴温度と等しいとしたことにも一因があると思われる。計算誤差を修正オイラー法によるモデル計算と比較した結果は、使用した繰返し時間間隔では実用上差異は認められなかつた。

酸素効率OEは(12)、(13)、(14)式の $O_{zin}$ に掛かるとしてモデルに組込んだが、OEとして実炉の物質収支による値を用いず未定定数の1つとした理由は、スラグ分析試料の調整段階で磁着分の除去を行なつてゐるため、実際のスラグ中の酸化鉄含有量が分析値より大なる可能性があること、排ガス流量の計測が行なえなかつたことによる。製鋼反応は $(FeO)-C-O$ の動的なバランスの上に進行していくといえるが、Table 2およびTable 3の結果を比較すると酸素効率の計算結果が実験結果とほぼ等しく、酸化鉄の値も実測値に対し10%程度の範囲に納まつてゐることは、モデルに用いた仮定の妥当性を意味するものと思われる。また問題の多い高炭素域におけるスラグの分析試料の調整も適切であつたと言える。

シミュレーションに用いた値をTable 3の右端に示

したが、酸素分配率Xを計算結果より大としたのは、Xは吹精条件の関数であり、操業開始時のランス・溶湯間距離が定常状態より離れているため、酸化鉄の生成にまわる酸素量が増大すると考えられることによる。

#### 4. 操業開始時のシミュレーション

一般に連続反応装置の操業開始を効率よく行なわせるには非定常状態を扱うため、装置およびその中で起こる反応の特性に關し十分な理解が必要とされる。このことは金材技研式連続製鋼法についても同様であり、より安全で効率的な操業開始方法が検討されてきたが、その確立は単に操業開始のみでなく、連続操業中における一定常状態から次の定常状態への遷移時間を短縮する上でも指針を与えるものである。ここでは3で述べた定常状態を基に作成したモデルの非定常域に対する適応性を検討し、またモデルによる未経験の操業法開発の可能性を検討する意味で、実操業の操業開始時と、半回分式操業開始法と名付けた仮想の操業法のシミュレーションをそれぞれ行なつたがその結果について述べる。

##### 4.1 実操業の操業開始

金材技研式連続製鋼法の操業開始は、まず1~2hr前に床敷き造滓剤を炉内へ投入し十分予熱したところへ、溶銑の流入を開始(0時とする)し、製鋼炉滞留量の半量(500 kg)まで溶湯がたまつた時点で、それまでランスノズルの閉塞防止のために少量吹いていた酸素量を規定値に上げ、約1 min後造滓剤の酸素による同時供給を開始し、合せて鉄鉱石の投入開始という手順で行なわれる。第2段炉の操業開始も同様であるが、溶湯が第2段炉に入る時点では貯銑炉からの溶湯流量が規定値にコントロールされているため、スタートアップに第1段炉より2 min程かかる。床敷きの量は造滓剤供給時までの炉内溶

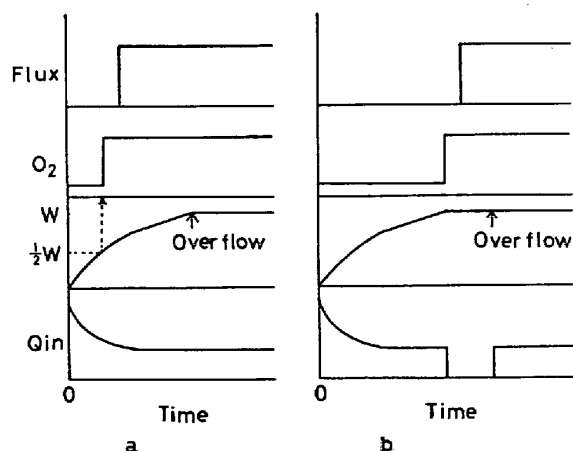


Fig. 6. Schematic representations of a : NRIM start-up and b : semi-batch start.

Table 4. Input data for start-up simulations.

Run	58-1				58-2				61-1				
	1	2	3	4	1	2	3	4	5	1	2	3	4
Lance	1	2	3	4	1	2	3	4	5	1	2	3	4
Metal under weir (kg)	70	70	70	390	20	20	20	20	390	70	70	70	390
Slag under weir (kg)	7	3	1	35	7	5	3	1	35	10	6	4	47
Initial flux weight (kg)	10	10	10	10	8	8	8	8	8	10	10	10	10
Half of metal hold-up (kg)	100	100	100	200	75	75	75	75	200	100	100	100	200

湯量を考慮して決められた。

Fig. 6 (a) は上記の方法を図式化したものである。シミュレーションの対象とした第 58 回実験の第 1, 2 段炉と第 61 回実験の第 1 段炉の堰下滞留量、酸素吹精開始時の床敷き造渣剤の各槽内滞留量および各ランスからの造渣剤供給量を Table 4 に示す。第 2 段炉の造渣剤は溶湯流入側から第 2, 3 番の 2 本のランスからのみ供給されているが、モデルでは第 2 ランスからの造渣剤供給量のうち 0.5 kg/min が第 1 ランスから吹込まれると仮定した。また第 2 段炉の溶湯滞留量は 5 本のランスが第 1 段炉の 4 本のランス取付位置とほぼ同一範囲に取付けられていることから、第 1 段炉の入口側 3 本分の滞留量を 4 本で分担するとして 3.2 を参考に決定した。第 2 段炉のスラグ滞留量はこの段の造渣剤供給量が第 1 段炉よりも少ないが、排渣口高さは第 1, 2 段炉とも同一であることから、堰下滞留量は第 1 段炉と同等であるとして Table 4 の値とした。

各実験の操業開始時における溶湯流量、成分および温度の時間変化をインプットデータとして読み込みシミュレートした結果を Fig. 7~9 に示す。装置規模が小さく安定した操業の難かしい実験であることを考えると、モデルは実測値をかなりよく代表しているといえる。

$P_{eq}$  の計算に BALAJIVA<sup>19)</sup>の式を用いた場合を Fig. 7 の点線で示したが、実測値との差が大きく、本モデルでは

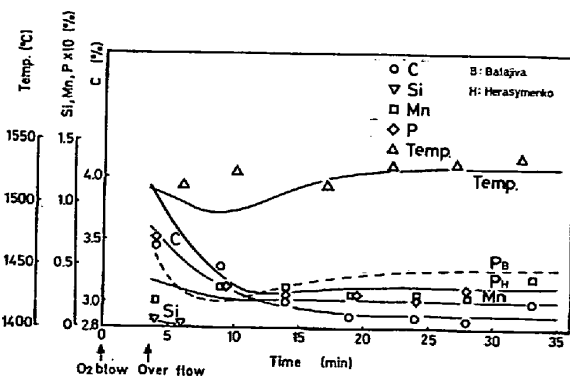


Fig. 7. Simulated results of the 1st stage in exp. 58.

HERASYMENKO の式がより適切であつたといえるが、スラグ温度に関する正確な情報があれば探索による各未定定数の値も変わることが考えられ、それにより他の平衡関係式が現象をより適確に表わす可能性もあると思われる。

Fig. 8 に示す第 58 回実験の第 2 段炉のシミュレーションは第 1 段炉のシミュレーションの結果をインプットデータとして行なつた。実測値と比べて 9 本のランスを通した計算結果としてはかなりよく近似しているといえる。

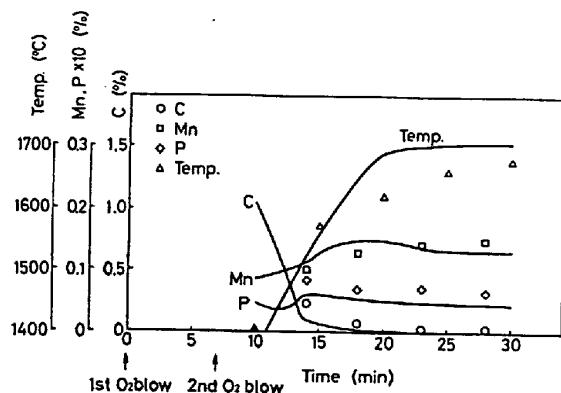


Fig. 8. Simulated results of the 2nd stage in exp. 58.

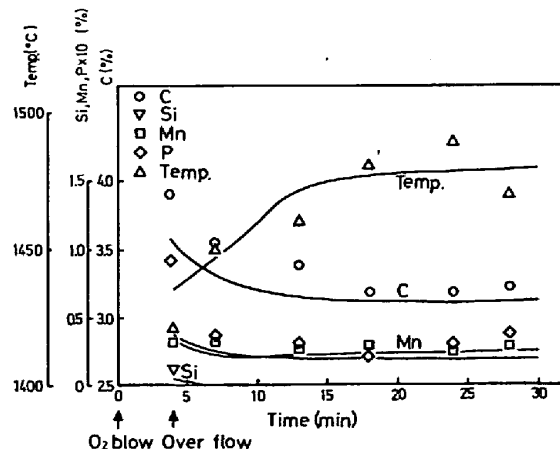


Fig. 9. Simulated results of the 1st stage in exp. 61.

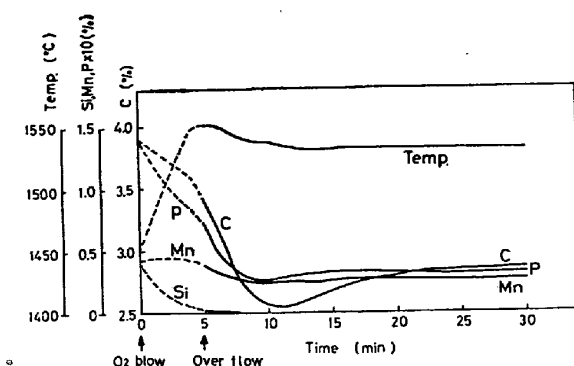


Fig. 10. Simulation of semi-batch start based on exp. 58 data.

以上の結果から定常状態に関して求めた抵抗係数が、操業開始時という非定常状態のシミュレーションにも適用できることが判明した。このことは金材技研式連続製鋼装置を反応に関して定係数系として扱えることを意味し、モデルによる最適制御法の確立の可能性を示唆するものといえる。また炉内の攪拌によおぼす酸素ジェットと生成COガスの上昇の効果は、質量流量で等価とみなしてもモデリングの上では支障ないことが判明した。

#### 4・2 半回分式操業開始

第58回実験の第1段炉と同一の操業条件で、操業開始をFig. 6(b)に示す半回分式、すなわち炉内に溶湯が1000kg滞留したところで溶銑の流入を中止し、規定流量の酸素吹精を開始し、5min後に溶銑の流入を再開し連続操業に入るとした場合のシミュレーション結果をFig. 10に示す。半量で操業開始する実操業の場合に比較して出湯成分の変動が少なく、定常化への遷移時間も短かくてすむことがわかる。溶銑供給系が流量の断続、制御を容易に行なえる場合には、この操業開始法は有利といえる。なお溶湯が炉内を一杯に満たし溢流のない状態では仮想堰はなく炉内は均一に攪拌されているとして計算した。実際にこの方法でスタートした操業例がないため計算結果に対する判断は難しいが、半量スタートの場合と異なり流入溶湯による炉況への影響が少ないとと思われることを考慮すると、この結果は妥当なものと思われる。

### 5. 結 言

金材技研式連続製鋼法の製鋼反応を物質移動律速であるとし、移動量は濃度差と供給あるいは生成されたガス流量の関数であるとして、連続製鋼法のモデルを作成しそれを用いて操業開始時のシミュレーションを行なつたが、その計算結果は実操業の結果をかなりよくシミュレートしうることが確認された。とくに炉内の攪拌がガス

流量の関数であるとしたことは、製鋼反応を動的に理解する上で非常な助けとなることがわかつた。最適化法により得られた抵抗定数は、操業開始時という非定常域のシミュレーションにおいてもよい近似をもたらしたが、このことは連続操業の一定常状態から次の定常状態への遷移域の制御法の確立、あるいは脱C、脱Pに最適な炉の設計と操業方法を開発する上で一つの指針を与えたものと思われる。現在このモデルの思想に基づいて、連続予備脱磷法の検討を進めている。

#### 記 号

- $C, c$ : 溶湯とスラグ中のトレーサー濃度 (-)
- $C^0, c^0$ : 溶湯とスラグ中の初期トレーサー濃度 (-)
- $C_j$ :  $j$ 元素の濃度 (-)
- $C_p$ : 比熱 (kcal/kg·°C)
- $G, g$ : 溶湯とスラグ層の伝達関数
- $H$ : 炉内物質の熱含量 (kcal)
- $H_{in, out}$ : 流入、流出熱量 (kcal/min)
- $HL$ : 热損失係数 (-)
- $Hl$ : 热損 (kcal/min)
- $Hr$ : 反応熱発生速度 (kcal/min)
- $\Delta H$ : 反応熱 (kcal/kg)
- $h_D$ : 造滓剤と鉄鉱石の分解熱と複塩生成熱の和 (kcal/min)
- $h_{HM}$ : 流入溶湯の有する熱量 (kcal/min)
- $K$ : 平衡定数 (-), ただし  $K_{CO}$  (atm)
- $m$ : 原子、分子量 (g/mol)
- $N$ : モル分率 (-)
- $O_{2in}$ : 供給酸素量 (kg/min)
- $OE$ : 酸素効率 (-)
- $P$ : 気圧 (atm)
- $Q$ : 溶湯流量 (kg/min)
- $q$ : 造滓剤、鉄鉱石、スラグ流量 (kg/min)
- $R$ : 移動抵抗 (min/kg)
- $s$ : ラプラス演算子
- $T$ : 絶対温度 (°K)
- $\Delta T$ : 標準温度との温度差 (°C)
- $t$ : 時間 (min)
- $U$ : 物質流量 (kg/min)
- $V$ : 気体流量 (kg/min)
- $W, w$ : 溶湯、スラグ滞留量 (kg)
- $W_h, w_h$ : 溶湯、スラグの仮想堰滞留量 (kg)
- $X$ : 酸素分配係数 (-)
- $\alpha$ : 抵抗係数 (-)
- $\gamma$ : 活量係数 (-)

#### 添 字

CO: 溶湯・スラグ反応

eq: スラグに平衡する濃度

i: ランス(槽)の番号

in: 流入

j: 溶湯・スラグ反応における O, Si, Mn, P

k: 酸化物,  $\text{SiO}_2$ ,  $\text{MnO}$ ,  $\text{P}_2\text{O}_5$ 

M: Si, Mn, P (-)

n: 流入物質

O: 酸素

 $\text{O}_2$ : 気体酸素

out: 流出

p: 流出物質

\*: ガス・溶湯界面

## 文 献

- 1) 中川, 吉松, 上田, 三井, 福沢, 佐藤, 尾崎: 鉄と鋼, 59 (1973), p. 414
- 2) L. S. DARKEN: Basic Open Hearth Steelmaking, (1951), p. 592 [AIME]
- 3) H. KRAINER: 鉄と鋼, 51 (1965), p. 1194
- 4) V. I. ヤボイスキー: 鋼精錬過程の理論(訳), (1971), p. 99 [日本学術振興会]
- 5) 丹羽, 横川: 鉄と鋼, 52 (1966), p. 505
- 6) 浅井, 鞆: 鉄と鋼, 55 (1969), p. 122
- 7) S. OKANO, J. MATSUNO, H. OOI, K. TSURUOKA,

T. KOSHIKAWA and A. OKAZAKI: Proc. of Int. Conf. on the Sci. and Tech. of Iron and Steel (1970), p. 227, Tokyo

- 8) D. J. PRICE: Chem. Met. of Iron and Steel by ISI, (1973), p. 112, London
- 9) D. L. MCBRIDE: Basic Open Hearth Steelmaking, 3rd ed. (1964), p. 948 [AIME]
- 10) 手塙, 山口, 稲富: 鉄と鋼, 56 (1970), S. 74
- 11) 学振製鋼 19 委: 製鋼反応の推奨平衡値, (1968), [日刊工業新聞社]
- 12) P. HERASYMENKO and G. E. SPEIGHT: JISI, 166 (1950), p. 169
- 13) J. F. ELLIOTT and F. W. LUERSSEN: Trans. AIME, 203 (1955), p. 1129
- 14) J. F. ELLIOTT, M. GLEISER and V. RAMAKRISHNA: Thermochemistry for Steelmaking, (1963), p. 586 [Addison-Wesley Publishing Co.]
- 15) M. J. Box: Computer J., 8 (1965), p. 42
- 16) G. S. G. BEVERIDGE and R. S. SCHECHTER: Optimization: Theory and Practice, (1970), p. 453 [McGraw-Hill Book Co.]
- 17) J. KOWALIK and M. R. OSBORNE, 山本, 小山(共訳): 非線形最適化問題, (1970), p. 31 [培風館]
- 18) 上田, 三井, 中川, 吉松: 日本鉱業会誌, 89 (1973), p. 545
- 19) K. BALAJIVA and P. VAJRAGUPTA: JISI, 155 (1947), p. 563